

1 まえがき

1968年十勝沖地震の際ハ戸津港で記録されたSMAC震震記録の波動特性について表題の第1, 2報として報告した。前報においてはハ戸津港SMAC震震記録の主要動がLove波, Rayleigh波の混在した表面波であることを指摘したが、この種の地震波の波動特性に関する実体論的研究ではえつのことか必要である。すなはち、1つは1地震に対して多くの地震(とかも比較的近距離の地震)における同時観測震震記録を解析し、立体的な地盤構造により波動特性が如何に影響を受けるかを明さねばならないこと。2つは特定 Fig-1 地震位置の地震における多數の震震記録を解析し、波動特性が地震の種々の要素(マグニチュード、震源距離、震源深さ、震震機構など)による程度まで作用するかを明さねばならないことである。1の目的に対する観測体制は未だ整っていないが、2の目的に対しては肉厚構造の大きな努力により次第に震震記録が集積されつつあり、大規模な議論は可能よう思われる。この報文では主にその目的に沿って考察について述べる。

2 SMAC震震記録(釧路港)のマルチフィルター解析

運輸省港湾技術研究努力により釧路港では早くからSMAC震震計が設置され、多くの震震記録が得られてゐる。こうち震震位置、マグニチュードなどの地震情報が公にされており、かつ解析へ適宜用いられる地震は多めである。²⁾ Fig-1に各地震の震震位置をTable-1にマグニチュード(M), 録音までの震央距離(t), 及び震震深さ(h)を示す。こうちS-733は昭和半島沖地震(1973年)の本震である。この地震はそれなりに大きい地震であるが、各地震のSMAC震震記録をFourier解析して得たスペクトルによると必ずしも1.0秒, 0.3秒付近に卓越周期を有する傾向がある結果が得られている。これより各震震記録には釧路港において地盤構造が強く反映されているものと思われる。しかし、詳細に見ると各震震記録には波動特性の違いによる影響がかなり認められる。例えば代表例として最もMの大きさ S-674(N-S成分)及び最もMの大きさ S-733(N-S成分)をマルチフィルター解析した結果をFig-2, Fig-3に示す。Fig-2, Fig-3から2つの震震記録はスペクトルの非定常的变化に大きな違いを指摘できる。Mの大きさ S-733は1.0秒付近の長周期が優勢であり、かつこの周期が最初に出現し、後へ0.3秒付近の短周期が現れる傾向を示している。一方、Mの小ささ S-674ではこれが逆になっている。全般に0.2~0.3秒の短周期が優勢であるとともに1.0秒付近の長周期が出現時期よりも早くなる。これら

周知のようにS波などの実体波がホワイトノイズのうきで基盤から鉛直に入射した場合、地表面での応答における時間経過では短周期が徐々に卓越し、後へ長周期の卓越性が認められるはずである。遂に表面波が伝播した場合、分散効果により時間経過とともに長周期から短周期へ卓越性が移行するはずである。この観点からすると、S-674は実体波、S-733は表面波が優

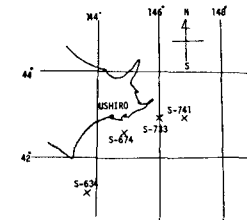


Table-1 マグニチュード、震源距離
震源深さ

	M	t (sec)	h (m)
S-634	7.0	200	60
S-674	5.8	60	60
S-733	7.4	120	40
S-741	7.1	200	30

Fig-4 釧路港周辺
基盤等深線

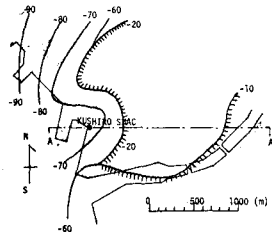


Fig-5 W-E方向地質断面

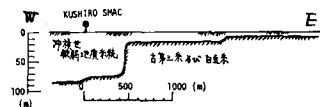


Fig-6 速度構造

Soil Type	Thickness (m)	S-wave velocity (m/sec)	Density (g/cm³)
細砂	2.0	50.0	1.6
中粗砂	5.0	70.0	1.7
砂礫	13.0	400.0	2.0
泥砂	22.0	150.0	1.8
粘土	10.0	250.0	2.0
砂質岩 (砂岩)	33.0	600.0	2.0
粘土岩 (頁岩)		1400.0	2.3

帶であると推定される。人工地震の実験によると震源の規模が大きいほど、震源深さが浅いほど、震源距離が遠いほど立体波より表面波が優勢になると言われている。S-674, S-733の各々のマグニチュード、震央距離、震源深さを考えると、以上述べたS-674, S-733の波動特性の推定は人工地震に因る知識からも妥当であると思われる。

3) 震震記録、波動特性と地盤構造

上述のようにS-733は表面波の特性が強いと推定されるが、これは地盤構造との関係から以下に見てみる。Fig-1に示した物くS-733の震源は釧路のほぼE-W方向に位置する。従って、Fig-3のS-733のN-S成分には表面波が存在するよりはLove波の影響が強いはずである。一方、釧路地方においては地下資源開発の観点から地盤構造が良く調査されている。³⁾ Fig-4は釧路港湾SMAC強震計の位置する付近における基盤（古第三系又は白亜系の岩がなる）の等深線を示したものである。⁴⁾ Fig-5はSMAC強震計を通じてE-W方向地質断面を示したものである。SMAC実測S-W→E方向へ向かって約400~500m付近で基盤構造が急激に変化している。他方、SMAC実測下の波速度などの速度構造は表を除いて未知であるが、この付近で多くのボーリング資料及びP波弹性波探査による資料を参照して凡ての構造は推定できる。Fig-6はこのような推定された速度モデルの例である。ここでFig-5の地質断面を参照して、この速度モデルが基盤が急激に変化しているSMAC実測S-W→E方向距離 $\Delta = 400\text{m}$ の地盤まで連続してみて仮定する。Fig-6の速度構造に対するLove波の群速度分散曲線を基本モードLoから高次のLsモードまで求めるとFig-7の物くなる。ここで、群速度が極小となる周期は振巾が卓越する周期でもある。ところで、Love波がE-W方向へ向かって震源方向から伝播していくとするSMAC実測 $\Delta = 400\text{m}$ の地盤よりFig-7の分散が現れると予想される。そこで、マルチフィルタ 解析結果の周期1.0秒付近の振巾が極大となる時刻に群速度分散曲線の周期1.0秒付近の群速度極小を合せ、 $\Delta = 400\text{m}$ としてLove波分散曲線より地震波到達時間求めるとFig-3の点線の如くなる。図に見られる如くマルチフィルタ 解析結果のスペクトルの非対称性はこの地震波到達時間曲線で比較的良く説明される。特に時刻1.5秒を以て1.5秒付近の振巾の卓越時刻における時刻肉眼はその周期成分とともに良く説明がつく。以上の簡単な考察から、S-733のN-S成分の主導動は地盤構造の影響を受けたLove波であると考えて誤りはないようである。

以上見たように、SMAC強震記録は地震の要素(M, t, d)によって波動特性が変わることとし、M, t, dの増大によつて表面波が強くなると思われる。

(参考文献) 1) 神山: 震震記録の波動論的研究、第1報、第2報、第13回地震工学研究発表会、土木学会第29回年講 2) 土田化: 港湾技術資料、No.136, No.160, No.181

3) 国崎: 釧路の地質、釧路叢書 4) 北海道地震災害研究会レポート: 北海道に於ける特異地盤に対する地震緊急对策に関する研究、昭和41年度研究報告書

5) 金井, 酒井: 広尾沖地震における釧路の震震記録と構造物の被害、Proc. 3rd Japan Earthq. Engg. Symposium

Fig-2 S-674(N-S) マルチフィルタ 解析結果

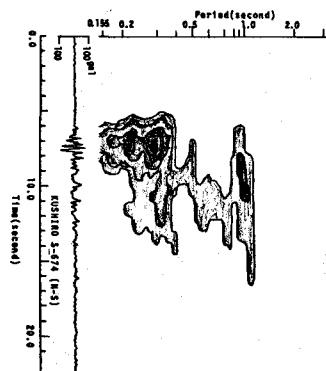


Fig-3 S-733(N-S) マルチフィルタ 解析結果及び地震波到達時間曲線

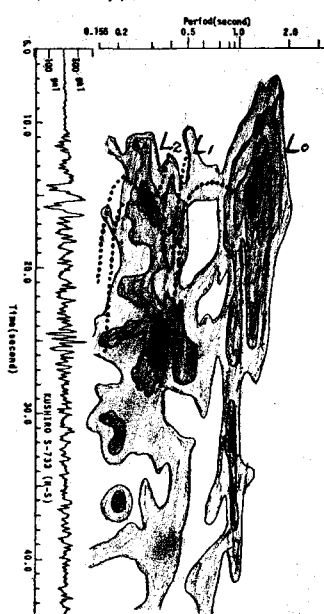


Fig-7 Love波群速度分散曲線

